

소결온도에 따른 $\text{Ba}_5\text{Ta}_4\text{O}_{15}$ 세라믹스의 구조 및 마이크로파 유전특성

이승준, 김재식, 남송민, 고중혁, 이영희
광운대학교

Structural and Microwave Dielectric Properties of the $\text{Ba}_5\text{Ta}_4\text{O}_{15}$ Ceramics with Sintering Temperature

Sung-Jun Lee, Jae-Sik Kim, Song-Min Nam, Jung-Hyuk Koh, Young-Hie Lee
Kwangwoon University

Abstract - The microwave dielectric properties of the $\text{Ba}_5\text{Ta}_4\text{O}_{15}$ ceramics with sintering temperature were investigated. All sample of the $\text{Ba}_5\text{Ta}_4\text{O}_{15}$ ceramics prepared by conventional mixed oxide method and sintered at 1450°C~1575°C. Porosity of the $\text{Ba}_5\text{Ta}_4\text{O}_{15}$ ceramics was reduced with increasing sintering temperature. The bulk density, dielectric constant and quality factor increased with increasing sintering temperature. In the case of $\text{Ba}_5\text{Ta}_4\text{O}_{15}$ ceramics sintered at 1550°C, The bulk density, dielectric constant and quality factor were 7.31g/cm³ and 27.4, 30.6GHz, respectively.

1. 서 론

최근 정보통신의 발달함에 따라 마이크로파 구성요소로 유통되는 유전체 세라믹스 소자에 대한 관심이 증대되고 있으며, 여기에 상응하여 마이크로파용 유전체소자의 소형화 및 고성능화에 대한 요구 증가로 마이크로파 유전체 세라믹스에 대한 연구가 활발히 진행되고 있다.[1] 1990년도에는 소자의 크기를 작게 하기 위하여 $\text{BaO}-\text{Re}_2\text{O}_7$ 와 $(\text{Pb}_{1-x}\text{Ca}_x)\text{ZrO}_3$ 와 같은 높은 유전율(약 100)을 가지는 물질에 대한 연구가 활발하였다. 최근에는 이동통신 시장의 급속한 발전에 의해 많은 사용자를 수용하기 위해 주파수가 800MHz 대역에서 2~3GHz 대역으로 이동하였다. 포는 주파수 이하에서는 ($f \leq 100$ GHz) 내부 유전 손실이 주파수에 비례하여 커지기 때문에 마이크로파 대역에서는 높은 품질계수 특성이 더욱 중요하다.[2] 따라서 고주파 대역에서 우수한 품질계수를 가지는 재료에 대한 관심이 높아지고 있다. 높은 품질계수의 특성을 갖는 물질로 MgTiO_3 , SrTiO_3 와 같은 복합페로브스카이트 구조를 가지는 재료에 대한 연구가 진행되었다. 최근에는 높은 품질계수를 가지는 재료로서 복합페로브스카이트 구조에서 약간 변형된 Cation-deficient 페로브스카이트 구조가 많은 주목을 받고 있다. 이 구조는 AsB_3O_5 의 화학식을 가지고 있기 때문에 페로브스카이트구조인 ABO_3 화학식으로 줄여 쓰면 AB_0O_3 , 즉 음이온 B의 자리가 부족한 형태가 되어서 Cation-deficient 페로브스카이트 구조라 불린다.[3]

본 논문에서는 높은 품질계수를 가지는 재료 개발을 위하여 Cation-deficient 페로브스카이트 구조를 가지는 물질 중에서 $\text{Ba}_5\text{Ta}_4\text{O}_{15}$ 세라믹스의 소결특성을 고찰하고 소결온도에 따른 구조 및 마이크로파 유전 특성을 조사하였다.

2. 본 론

2.1 시편의 제조

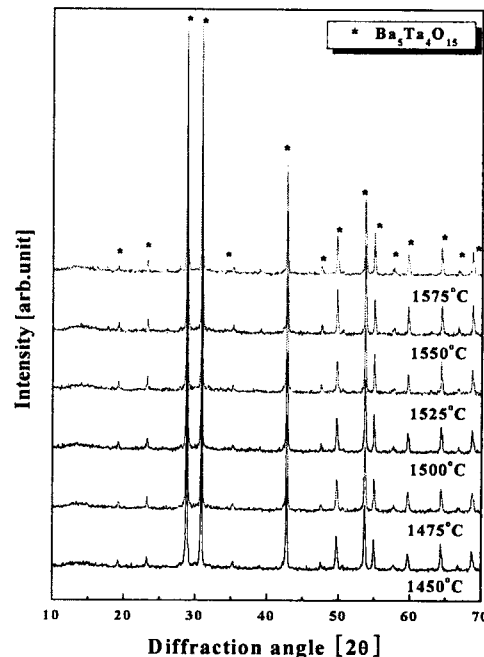
본 연구에서는 일반적인 산화물 혼합법으로 $\text{Ba}_5\text{Ta}_4\text{O}_{15}$ 세라믹스를 제조하였다. 출발물질로는 BaCO_3 , Ta_2O_5 (high-purity, 99.9%)를 사용하였다. BaCO_3 , Ta_2O_5 는 화학식량에 맞게 평량한 후 알코올을 분산매로 사용하여 지르코니아볼로 24시간동안 혼합 분쇄하였고, 혼합 분쇄한 분말을 100°C 전기오븐에서 24시간동안 건조한 후 알루미나 도가니에 넣어 1200°C~1325°C의 온도범위에서 3시간 동안 하소하였다. 하소한 분말을 알코올을 분산매로 사용하여 지르코니아볼로 12시간동안 재혼합 분쇄하였으며, 24시간동안 건조하였다. 건조한 분말을 지르코니아 유발을 이용하여 분쇄 후 #100 mesh로 채치기하였다. 분말을 원통형 금형($\Phi=10\text{mm}$)에 넣고 1ton/cm²의 압력을 가하여 성형하였다. 성형한 시편을 전기로에 넣고 1450°C~1575°C의 온도범위에서 5시간동안 소결하였다. 하소 및 소결시 전기로의 온도 상승률은 5°C/min으로 하였다.

2.2 측정

소결온도에 따른 결정구조의 변화 및 고용체 형성과정을 고찰하고자 X-선 회절분석을 하였다. X-선은 $\text{CuK}\alpha(\lambda=1.542\text{\AA})$ 을 사용하였으며, 스텝 폭과 주사속도는 각각 0.05deg., 5deg./min.로 하였다. 주사현미경을 이용하여 결정립의 형태, 결정립계, 기공 등의 미세구조를 고찰하였다. 시편의 소결 상태를 알아보기 위해 Archimedes method를 이용하여 밀도를 측정하였다.

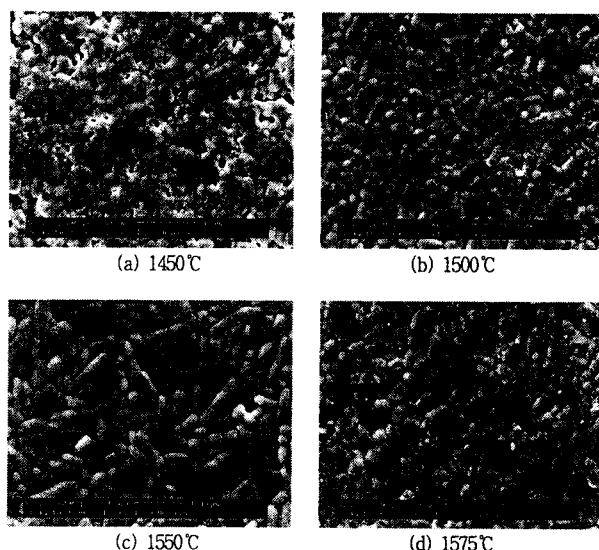
마이크로파 유전특성은 양면을 거울면 연마한 실린더형 시편들에 대해 Hakki와 Coleman에 의해 제시되고 Kobayashi 등이 보정한 평판형 공진기법(parallel plate method)으로 HP8757D Vector Analyzer를 이용하여 유전상수(ϵ_r)와 무부하 Q값을 측정하였다.[4]

3. 결과 및 고찰



<그림 1> 소결온도에 따른 $\text{Ba}_5\text{Ta}_4\text{O}_{15}$ 세라믹스의 X-선 회절 패턴

그림 1은 1300°C에서 3시간동안 하소한 $\text{Ba}_5\text{Ta}_4\text{O}_{15}$ 세라믹스의 소결온도에 따른 X-선 회절 패턴을 나타내었다. 모든 소결 온도에서 $\text{Ba}_5\text{Ta}_4\text{O}_{15}$ 상이 주상으로 나타났다. 소결 온도 증가함에 따라 $\text{Ba}_5\text{Ta}_4\text{O}_{15}$ 상의 회절 강도가 증가하였고 새로운 상의 형성은 발생하지 않았다.



<그림 2> 소결온도에 따른 $\text{Ba}_5\text{Ta}_4\text{O}_{15}$ 세라믹스의 미세구조

소결된 $\text{Ba}_5\text{Ta}_4\text{O}_{15}$ 시편의 미세구조 및 결정립 성장을 확인하기 위하여 측정한 SEM 이미지를 그림 2에 나타내었다. 1550°C의 소결온도에서 가장 치밀한 미세구조를 나타내었다. 1450°C~1525°C의 소결온도에서는 낮은 소결온도로 인하여 $\text{Ba}_5\text{Ta}_4\text{O}_{15}$ 상의 치밀화가 충분히 진행되지 않았기 때문에 다수의 기공이 나타나는 것으로 생각된다. 소결온도가 증가함에 따라 $\text{Ba}_5\text{Ta}_4\text{O}_{15}$ 상의 치밀화가 증가하여 기공이 감소하고 치밀한 구조를 나타내는 것으로 생각된다. 기공은 낮은 비유전율을 가지기 때문에 기공의 감소는 유전율의 증가를 가져올 것으로 생각된다.

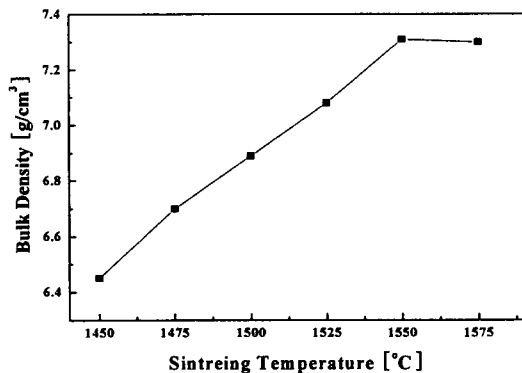


그림 3) 소결온도에 따른 $\text{Ba}_5\text{Ta}_4\text{O}_{15}$ 세라믹스의 소결 밀도.

그림 3은 소결온도에 따른 $\text{Ba}_5\text{Ta}_4\text{O}_{15}$ 세라믹스의 밀도를 나타내었다. 그림 2의 미세구조에서 알 수 있듯이 소결온도가 증가함에 따라 $\text{Ba}_5\text{Ta}_4\text{O}_{15}$ 상의 치밀화에 따른 기공의 감소로 인하여 밀도가 증가하는 것으로 생각된다. 1550°C 이상의 온도에서는 거의 일정한 밀도를 나타내었다.

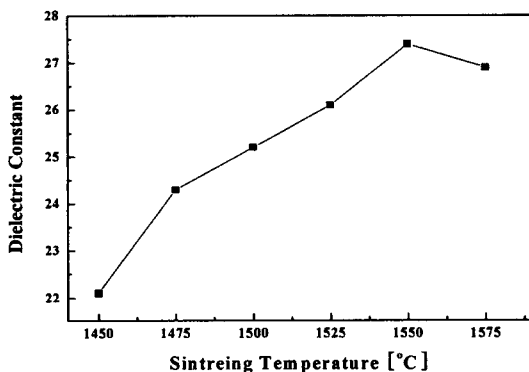


그림 4) 소결온도에 따른 $\text{Ba}_5\text{Ta}_4\text{O}_{15}$ 세라믹스의 유전 상수

소결온도에 따른 $\text{Ba}_5\text{Ta}_4\text{O}_{15}$ 세라믹스의 유전율을 그림 4에 나타내었다. 소결 온도가 증가함에 따라 유전율이 증가하였고 1550°C 이후의 소결온도에서 감소하였다. 일반적으로 동일 재료에서의 유전상수는 시편의 밀도와 밀접한 관계가 있다. 1550°C까지의 유전율의 증가는 그림 2와 그림 3에서 알 수 있듯이 소결온도가 증가함에 따라 치밀화가 증진되어 기공이 감소하였기 때문에 생각된다. 1575°C의 소결 온도에서의 유전율의 감소는 그림 2에서 알 수 있듯이 시편의 과잉 소결에 의한 과잉 성장 때문에 기공 형성이 형성되나 이런 결과를 나타낸 것으로 생각된다.

그림 5는 소결온도에 따른 $\text{Ba}_5\text{Ta}_4\text{O}_{15}$ 세라믹스의 품질계수를 나타내었다. 그림 3의 밀도와 유사한 결과를 나타내며 1550°C의 소결온도에서 최대값을 나타내었다. 품질계수는 구조적 결합과 기공, 2차상 등의 미세구조 결합에 의해 결정된다.^[5] 1550°C까지의 소결 온도에서는 소결 온도가 증가함에 따라 기공의 감소로 인하여 품질계수가 증가하는 것으로 생각된다. 하지만 1575°C의 소결 온도에서는 품질계수의 감소가 나타났다. 이는 그림 2에서 알 수 있듯이 높은 소결 온도로 결정립이 과잉 성장하여 미세구조 결합이 증가했기 때문이라 생각된다.

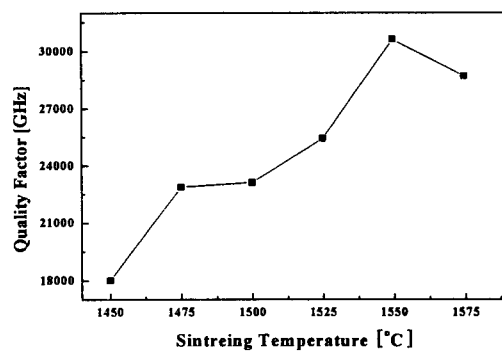


그림 5) 소결온도에 따른 $\text{Ba}_5\text{Ta}_4\text{O}_{15}$ 세라믹스의 품질계수

4. 결 론

소결온도에 따른 $\text{Ba}_5\text{Ta}_4\text{O}_{15}$ 세라믹스의 구조 및 마이크로파 유전특성을 조사하여 다음과 같은 결과를 얻었다.

1. $\text{Ba}_5\text{Ta}_4\text{O}_{15}$ 세라믹스의 X-선 회절 분석결과 모든 소결온도에서 주상으로 $\text{Ba}_5\text{Ta}_4\text{O}_{15}$ 상을 나타내었고 소결 온도 증가에 따라 새로운 상은 발견되지 않았다.
2. $\text{Ba}_5\text{Ta}_4\text{O}_{15}$ 세라믹스의 밀도는 소결 온도가 증가함에 따라 증가하였다. 또한 유전상수와 품질계수는 소결온도의 증가에 따라 증가하다가 1550°C 이후의 소결온도에서는 감소하였다.
3. 1550°C에서 소결한 $\text{Ba}_5\text{Ta}_4\text{O}_{15}$ 세라믹스의 소결 밀도, 유전 상수, 품질계수는 각각 7.31g/cm³, 27.4, 30,635GHz 이었다.

이상의 결과로 $\text{Ba}_5\text{Ta}_4\text{O}_{15}$ 세라믹스가 고주파용 마이크로 구성소자로 응용이 가능할 것으로 생각된다. 차후 연구에서는 $\text{Ba}_5\text{Ta}_4\text{O}_{15}$ 세라믹스의 공진 주파수의 온도계수 특성에 대한 연구가 진행되어야 할 것으로 생각된다.

감사의 글

This work was supported by the Realistic 3D-IT Research Program of Kwangwoon University under the National Fund from the Ministry of Education and Human Resources Development (2005).

【참 고 문 헌】

- [1] D.Kolar and D.Suvorov, "High Permittivity Microwave Ceramics", Eu. J. Solid State Inorg. Chem., 32, pp.751~760, 1995.
- [2] K. Wakino, D. A. Sagala and H. Tamura, Proc. 6th Int. Meet. Ferro electricity, Kobe, Jpn. J. Appl. Phys., 24, pp. 1042, 1985.
- [3] R. Ratheesh, H. Sreemoolanadhan, and M. T. Sebastian, "Vibrational Analysis of $\text{Ba}_{5-x}\text{Sr}_x\text{Nb}_5\text{O}_{15}$ Microwave Dielectric Ceramic Resonators", J. Solid State Chem., 131, Issue 1, pp. 2~8, 1997.
- [4] B. W. Hakki et al., "A Dielectric Resonator Method of Measuring Inductive Capacities in the Millimeter Range", IRE Trans. on Microwave Theory and Techniques, Vol.MTT-24, No.10, 1960.
- [5] W. D. Kingery, H. K. Bowen and D. R. Uhlmann, "Introduction to Ceramics", John Wiley & Sons, Second edition, p.937~945, 1976.